

## (H-2) Hパイル水平荷重試験報告(その1) - 静荷重試験 -

運輸技術研究所 正員 林 慶  
鉢内克洋

### まえがき

横荷重をうける垂直单杭の挙動については、これまでに多くの研究が行われており、直杭の横抵抗に因する設計法も一応樹立されてはいるが、実験的な資料として、地盤条件の明確な記述、地中部における杭の挙動に因する詳細な資料が完備し、しかも多種類の地盤条件の下で、他の条件を変えないで実験し、地盤条件が杭の横抵抗におよぼす影響を明瞭に抽出する意図の下になされた実験資料は余り多くない。これ等の点を考慮し、我々はHパイル(300 × 305 × 15mm)を用い、地盤条件のことなる4種類の砂質土地盤において、静荷重および動荷重による水平荷重試験を実施した。本報告では、その才一部として、静荷重試験の概要なりびに結果について述べ、試験結果を利用して、電子計算機を用いて行った解析結果から、直杭の横抵抗特性について考察した。

### 試験の概要

杭の水平抵抗は主に杭の剛度と、杭が打込まれている周囲の地盤特に上層部の地盤の硬さに關係が深いと思われる。従つて実験はH杭の断面剛性の大きな方向(K系列試験)と小さな方向(L系列試験)とに荷重を作用させた場合に分け、地盤は上層部の硬さを表-1に示すような4種類の状態のものを作成するために原地盤の掘削、埋戻、転圧、置換等の作業を行った。地盤改良を行った範囲、試験杭、載荷用オイルジッキ、反力杭等の配置およびダイマルゲージ取付位置を示すための平面図および断面図の一例(K-IIIの場合)を図-1に示す。

### 静荷重試験結果

試験結果の一例としてK-IIIの場合の荷重-変位曲線を図-2に示す。この場合水平荷重の作用点は地表面上50cmの奥であり、水平変位の測定位置も同じ高さである。また同じくK-IIIの場合の各荷重段階に対応する曲げ歪分布曲線を図-3に示す。図-3から得られる各荷重段階に対する曲げモーメント分布曲線を深さZに因してそれぞれ1回および2回の数値積分および微分演算を行ひ

条件	地盤の状態	テストNo.	土の性質			
			N値	乾燥密度	含水比	飽和度
I	原地盤を地下水位以下に掘削 --- 堀立地。飽和した砂	K-I	<2			
II	原地盤の砂を使用してゆるやかに埋戻、盛立てした状態	K-II	<1	1.36	0.97	16
	L-II	1	1.36	0.97	16	
III	原地盤の砂を使用して振動ローラで締固めながら埋戻、盛立てした状態	K-III	4	1.53	0.74	16
IV	粒度のよい川粗砂を用いて振動ローラで締固めながら埋戻、盛立てした状態	K-IV	18~26	1.89	0.40	6
	L-IV	12	1.83	0.45	6.9	

表-1

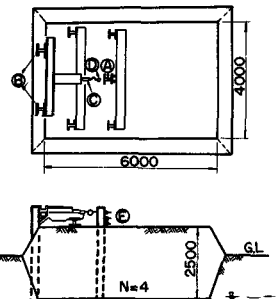
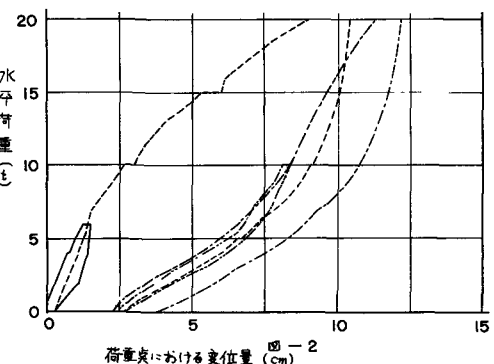


図-1



荷重点における変位量 (cm)

変位 $y$ 、撓角 $i$ 、剪断力  
S. および地盤反力を求める、地中の杭の変位 $y$ とその英に働く地盤反力 $P$ との関係を両対数方眼紙にプロットしたものが図-4である。この結果両者の間に

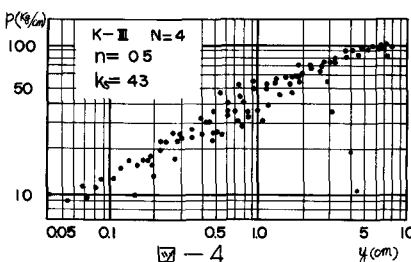


図-4

は  $P = K_s y^n$  なる関係があることがわかり、他の実験条件の場合についても同様な操作を行った結果、 $P$  と  $y$  との関係は K-II の場合を除けばすべて K-III と同じ式であらわされた。 $K_s$  および  $n$  の値は表-2 に示すものとなった。(K-II の場合は  $P = \bar{K}_s x y^n$  であらわされる。)

#### 静荷重試験結果の解析

試験結果から、杭面に働く地盤反力 $P$ の特性は、地盤条件に応じて、 $P = K_s y^n$  あるいは  $P = \bar{K}_s x y^n$  なる関係であらわされることがわかり、地盤条件に応じた諸常数値  $K_s$ 、 $\bar{K}_s$ 、 $n$  等の値が実験的に定められた。従って試験結果の解析法としては、各実験条件毎に、上記の地盤反力特性式および実験的に定められた諸常数値を用いて、次に示す横荷重をうける杭の平衡方程式  $EI \frac{d^4 u}{dx^4} = -P$  を解き、解析的に得られた杭の諸性質が、直接実測結果から得られたものと一致するか否かを検討し、前記の地盤反力特性式および各種地盤条件に応じた諸常数値の適否を確かめた。

上記のような非線形特性をもつ地盤反力系としての解析計算には電子管式低速度アナログ計算機を用いた。  
解析結果の一例として、K-IIIの場合の荷重と地表面変位との関係を図-5に、各荷重段階に対応する曲げモーメント分布曲線を図-6に示した。

何れの場合も実線で示した計算結果は、○印で示した実測結果と良く一致している。

#### あとがき

Hパイル水平荷重試験の結果ならびに実験資料を解析した結果、我々の場合のように人工的に薄い層毎に締め固めた地盤では、杭面に働く地盤反力は  $P = K_s y^n$  なる形であらわされることがわかり、式中の諸常数値は地盤の標準貫入試験から得られる $N$  値によって定められることがわかった。本報告ではこの他、過去に行われた他の実験資料を同様な方法で解析した結果をも含めて報告する。

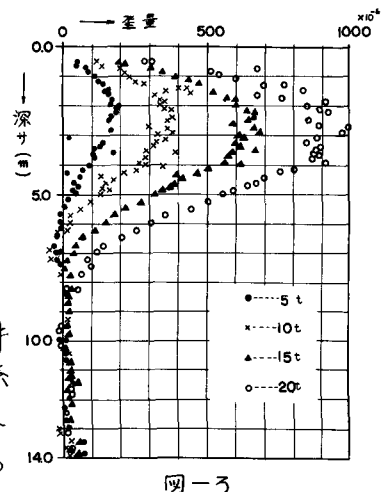


図-3

	K-I	K-II	K-III	K-IV	L-II	L-IV
N	Blow Pen	<2	<1	4	18-26	1
$K_s$	$K_s / \text{kg/cm}^2$	21~28	40~43	89~90	12~17	60
$\bar{K}_s$	$\bar{K}_s / \text{kg/cm}^2$		0.11			
$n$		0.52	0.50	0.50	0.62	0.50
					0.57	

表-2

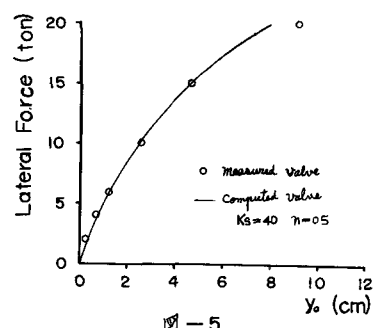


図-5

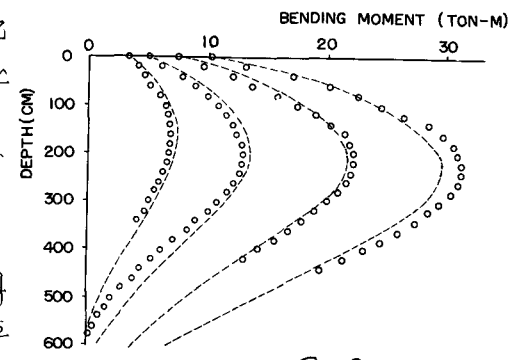


図-6